

Akıllı Yansıtıcı Yüzey Destekli Çok-Girişli Tek-Çıkışlı Sistemde Kanal Kestirimi

Channel Estimation for RIS aided MISO System

Rıfat Volkan Şenyuva
Elektrik-Elektronik Mühendisliği Bölümü
Maltepe Üniversitesi
İstanbul, Türkiye
rifatvolkansenyuva@maltepe.edu.tr

Özetçe —Bu çalışmada akıllı yansıtıcı yüzey (AYY) destekli çok-girişli tek-çıkışlı tek kullanıcı sistemde kanal kestirimi incelenmektedir. Ayrık Fourier dönüşümü matrisine göre her sembol aralığında etkinleştirilen AYY elemanlarını kullanan en küçük varyanslı yansız (EKVY) kestiricisi ile en küçük ortalama kareler (EKOK) kestiricisinin başarımları karşılaştırılmaktadır. EKOK kestiricisiyle, EKVY kestiricisi üzerine sinyal gürültü oranında 10 dB üzerinde iyileştirme elde edilebileceği sayısal sonuçlarla gösterilmektedir.

Anahtar Kelimeler—akıllı yansıtıcı yüzeyler, kanal kestirimi, en küçük varyanslı yansız kestiricisi, en küçük ortalama kareler kestiricisi.

Abstract—This paper considers the channel estimation of a single user in a MISO system with an intelligent reflecting surface (IRS). The performances of the minimum variance unbiased (MVU) and minimum mean square error (MMSE) estimators using the discrete Fourier transform activation pattern for the IRS, updated at every symbol interval, are compared. Numerical results show that the MMSE estimator provides over 10 dB SNR improvement compared to the MVU estimator.

Keywords—reflective intelligent surfaces, channel estimation, minimum variance unbiased estimator, minimum mean squared error estimator.

I. GİRİŞ

5. nesil ve sonrası kablosuz ağlarda artan veri hızları nedeniyle enerji verimliliği ön plana çıkmaktadır. Çok antenli baz istasyonları ve erişim noktalarının yoğun kurulumuyla tesis edilecek bu yeni nesil ağlara 50 milyardan fazla cihazın bağlanması beklenmektedir [1]. Güç tüketimlerinin çok fazla olması ve kullanıcılarına kesintisiz yüksek nitelikli hizmet sağlamakta zorlanmaları bu yeni nesil kablosuz ağ teknolojilerinin gerçekleşmesi önündeki en önemli iki problemdir [2]. Bu problemlerin çözümü için radyo yayılım ortamının akıllı yansıtıcı yüzey (AYY) kullanılarak akıllı hale getirilmesi önerilmektedir [3]. AYY gelen elektromanyetik alana pasif huzme şekillendirme uygulayabilen ve bütünlüklü elektronik devreler aracılığıyla programlanabilen meta yüzeylerdir [3]. AYY’ de rollerde olduğu gibi güç yükselteçleri kullanılmadığı için çok daha az güç tüketilmektedir. Bu nedenle enerji verimliliğini artırmayı hedefleyen yeni nesil ağ teknolojilerinde AYY’ in kullanılması öngörülmektedir.

Yalnız bu teknolojinin olgunlaşabilmesi için sinyal işleme alanında çözülmesi gereken problemler vardır. Bu problemler-

den birisi kanal kestirimidir. AYY’ de artan eleman sayısı ile birlikte kestirilmesi gereken kanal sayısı artmakta, pasif elemanlardan oluşmaları nedeniyle kestirim ancak alıcı tarafında yapılabilmekte ve geleneksel sistemlere göre daha yüksek kestirim hatası ortaya çıkmaktadır [4]. Kanal kestirimini iyileştirmek amacıyla AYY elemanlarının nasıl etkinleştirilmesi gerektiği üzerine araştırmalar yapılmaktadır [2], [4]–[7]. [5]’ te AYY elemanlarının bir kısmının açık, geri kalanlarının ise kapalı bırakılarak en küçük varyans yansız (EKVY) kestiricisi uygulanmaktayken, [4]’ de ise elemanların Ayrık Fourier Dönüşümü (AFD) matrisine göre etkinleştirilerek uygulanan EKVY kestiricisinin varyansının kılavuz sembol sayısı ile azaltılabileceği gösterilmektedir. [2]’ de EKVY kestiricisi üzerine en küçük ortalama kareler (EKOK) kestiricisi geliştirilmesi anlatılmaktadır. [4], [5]’ te AYY elemanlarının değiştirilme sıklığı sembol aralığı olarak belirlenmekteyken [2], [6], [7]’ deki sinyal modelinde ise kanal uyum süresinde içerisinde kalmak şartıyla belli sayıda sembol gönderimi için AYY elemanları aynı kalmaktadır.

Bu çalışmada AYY tarafından desteklenen çok-girişli tek-çıkışlı sistemde tek kullanıcı için kanal kestirimi problemi ele alınmaktadır. Sinyal modelinde AYY ile baz istasyonu arasındaki kanalların gerekirci saçılmayla, diğer kanalların ise bağımsız Rayleigh sönümlemesine göre modellenildiği ve AYY elemanlarının kılavuz sembol aralığında değiştirilebildiği kabul edilmektedir. Bu sinyal modelinde önce AFD matrisine göre etkinleştirilen elemanları kullanan EKVY kestiricisi ve kovaryans matrisi türetimleri verilmekte sonrasında EKVY üzerine EKOK kestiricisi ve kovaryans matrisi gösterilmektedir. Sayısal sonuçlarda her iki kestiricinin başarımları karşılaştırılmaktadır.

II. SİNYAL MODELİ

İncelenen çok-girişli tek-çıkışlı iletişim sistemi, N elemanlı AYY tarafından desteklenmektedir. AYY elemanları, $\phi_t = [\phi_{t,1}, \dots, \phi_{t,N}]^T$, yüzeye gelen sinyallerin genliklerini ve fazlarını, $\phi_{t,n} = \alpha_{t,n} \exp(i\theta_{t,n})$ çarpanlarıyla etkilemektedir. Çarpanların genliği $\alpha_{t,n} \in [0, 1]$ ve fazları $\theta_{t,n} \in [0, 2\pi)$ verilen aralıklar içerisinde her t sembol aralığında kontrol kanalı üzerinden değiştirilebilmektedir [4]. Bu sistemde M antenli bir baz istasyonu, tek antenli bir kullanıcıya hizmet vermektedir. İletişim zaman bölüşümlü yarı çift yönlü gerçekleştirildiğinden kanal uyum süresi içerisinde baz istasyonu-kullanıcı ve kullanıcı-baz istasyonu bağlantı kanalları aynı kalmaktadır. Böylece

kullanıcı-baz istasyonu bağlantısı yönünde baz istasyonunda yapılacak kanal kestirimiyle, baz istasyonu-kullanıcı bağlantısı yönünde sembollerin kodlanarak gönderilmesi mümkün olabilmektedir.

Kanal kestiriminde kullanıcı tarafından her t sembol aralığında bir kılavuz sembol gönderilmekte ve gönderilen bu kılavuz sembol

$$\mathbf{y}_t = (\mathbf{h}_{\text{BS}} + \mathbf{H}_{\text{BS-RIS}} \Phi_t \mathbf{h}_{\text{IRS}}) x_t + \mathbf{z}_t \quad (1)$$

$\mathbf{y}_t \in \mathbf{C}^M$ olarak baz istasyonuna iletilmektedir [2], [4]. Denklem (1)' de $\mathbf{h}_{\text{BS}} \in \mathbf{C}^M$ baz istasyonu-kullanıcı direkt bağlantı kanalını, $\mathbf{H}_{\text{BS-RIS}} \in \mathbf{C}^{M \times N}$ matrisi baz istasyonu ve AYY arasındaki kanalları, $\Phi_t = \text{diag}\{\phi_t\} \in \mathbf{C}^{N \times N}$ t sembol aralığındaki AYY çarpanları matrisini, $\mathbf{h}_{\text{IRS}} \in \mathbf{C}^N$ kullanıcı ile AYY arasındaki kanalları, $x_t \in \mathbf{C}$ kılavuz sembolü, $\mathbf{z}_t \sim \mathcal{CN}(\mathbf{0}, N_0 \mathbf{I}_M)$ ise tek taraflı spektral güç yoğunluğu N_0 olan toplamsal karmaşık Gauss gürültüsünü göstermektedir. Kullanıcıyla baz istasyonu ve AYY ile arasındaki kanallar için

$$\mathbf{h}_{\text{BS}} = [h_{\text{BS}_1} \cdots h_{\text{BS}_M}]^T = \sqrt{\beta_{\text{BS}}} \mathbf{g}_{\text{BS}} \quad (2)$$

$$\mathbf{h}_{\text{IRS}} = [h_{\text{IRS}_1} \cdots h_{\text{IRS}_N}]^T = \sqrt{\beta_{\text{IRS}}} \mathbf{g}_{\text{IRS}} \quad (3)$$

bağımsız Rayleigh sönmülmesi modeli kullanılmaktadır [2], [4]. Denklem (2) ve (3)' te yol kayıpları β_{BS} ve β_{IRS} ile, çok yönlü sönmülme ise, $\mathbf{g}_{\text{BS}} \sim \mathcal{CN}(\mathbf{0}, \mathbf{I}_M)$ ve $\mathbf{g}_{\text{IRS}} \sim \mathcal{CN}(\mathbf{0}, \mathbf{I}_N)$ bağımsız karmaşık Gauss değişkenleriyle temsil edilmektedir. AYY' nin baz istasyonuna yakın ve görüş hattında olduğu kabul edilerek $\mathbf{H}_{\text{BS-RIS}}$ için yüksek kerteli gerekirci saçılma modeli kullanılmaktadır [8]. Yüksek kerteli $\mathbf{H}_{\text{BS-RIS}}$ kanal matrisi

$$[\mathbf{H}_{\text{BS-RIS}}]_{m,n} = \sqrt{\beta_{\text{BS-RIS}}} \exp \left[i \frac{2\pi}{\lambda} (m-1) d_{\text{BS}} \sin(\vartheta_{\text{LoSD}_n}) \right. \\ \left. \sin(\varphi_{\text{LoSD}_n}) + (n-1) d_{\text{IRS}} \sin(\vartheta_{\text{LoSA}_m}) \sin(\varphi_{\text{LoSA}_m}) \right] \quad (4)$$

şeklinde $m = 1, \dots, M$ ve $n = 1, \dots, N$ için oluşturulmaktadır. Denklem (4)' te yol kayıpları $\beta_{\text{BS-RIS}}$, taşıyıcı dalga boyu λ , baz istasyonu antenleri ve akıllı yansıtıcı yüzey elemanları arasındaki mesafeler sırasıyla d_{BS} ve d_{IRS} , baz istasyonundan ayrılış yükseklik ve azimut açıları sırasıyla $\vartheta_{\text{LoSD}_n}$ ve φ_{LoSD_n} ve son olarak AYY' ye geliş yükseklik ve azimut açıları sırasıyla $\vartheta_{\text{LoSA}_m}$ ve φ_{LoSA_m} ile temsil etmektedir.

$\Phi_t \mathbf{h}_{\text{IRS}}$ çarpımı yerine $\text{diag}\{\mathbf{h}_{\text{IRS}}\} \phi_t$ kullanılarak denklem (1) tekrar yazılırsa

$$\mathbf{y}_t = (\mathbf{h}_{\text{BS}} + \mathbf{H}_{\text{BS-RIS}} \text{diag}\{\mathbf{h}_{\text{IRS}}\} \phi_t) x_t + \mathbf{z}_t \quad (5)$$

$$= [\mathbf{h}_{\text{BS}} \ \mathbf{H}_{\text{cascade}}] \begin{bmatrix} 1 \\ \phi_t \end{bmatrix} x_t + \mathbf{z}_t \quad (6)$$

şeklinde (5) ve (6) denklemleri elde edilebilmektedir. Denklem (6)' da verilen kaskat kanalın sütunları

$$\mathbf{H}_{\text{cascade}} = \mathbf{H}_{\text{BS-RIS}} \text{diag}\{\mathbf{h}_{\text{IRS}}\} \quad (7)$$

$$= [h_{\text{IRS}_1} \mathbf{h}_{\text{BS-RIS}_1} \cdots h_{\text{IRS}_N} \mathbf{h}_{\text{BS-RIS}_N}] \quad (8)$$

olarak yazılabilmektedir. Kılavuz semboller $|x_t|^2 = 1$ sağlayacak şekilde seçilir ve denklem (6)' nin her iki tarafı kılavuz sembolün eşleniği, x_t^* , ile çarpılırsa

$$\tilde{\mathbf{y}}_t = [\mathbf{h}_{\text{BS}} \ \mathbf{H}_{\text{cascade}}] \begin{bmatrix} 1 \\ \phi_t \end{bmatrix} + \tilde{\mathbf{z}}_t \quad (9)$$

denklemini elde edilmektedir. Denklem (9)' da toplam sinyal $\tilde{\mathbf{y}}_t = x_t^* \mathbf{y}_t$, gürültü bileşeni ise $\tilde{\mathbf{z}}_t = x_t^* \mathbf{z}_t$ olarak verilmektedir. Yeni gürültü bileşeninin dağılımı, $\tilde{\mathbf{z}}_t \sim \mathcal{CN}(\mathbf{0}, N_0 \mathbf{I}_M)$, eskisiyle (1) aynıdır. Kanal uyum süresi içerisinde toplam τ_p adet kılavuz sembol için baz istasyonundaki sinyallerin toplamı

$$\tilde{\mathbf{Y}} = [\mathbf{h}_{\text{BS}} \ \mathbf{H}_{\text{cascade}}] \begin{bmatrix} 1 & \cdots & 1 \\ \phi_1 & \cdots & \phi_{\tau_p} \end{bmatrix} + \tilde{\mathbf{Z}} \quad (10)$$

$$= \mathbf{H}_{\text{comp}} \mathbf{V} + \tilde{\mathbf{Z}} \quad (11)$$

şeklinde yazılabilmektedir. Denklem (10)' da toplam sinyal matrisi $\tilde{\mathbf{Y}} = [\tilde{\mathbf{y}}_1 \cdots \tilde{\mathbf{y}}_{\tau_p}] \in \mathbf{C}^{M \times \tau_p}$, toplam gürültü matrisi ise $\tilde{\mathbf{Z}} = [\tilde{\mathbf{z}}_1 \cdots \tilde{\mathbf{z}}_{\tau_p}] \in \mathbf{C}^{M \times \tau_p}$ olarak verilmektedir. Denklem (11)' de bileşik kanal matrisi $\mathbf{H}_{\text{comp}} \in \mathbf{C}^{M \times (N+1)}$ ile temsil edilmekteyken yeni AYY elemanları matrisi ise $\mathbf{V} \in \mathbf{C}^{(N+1) \times \tau_p}$ ile gösterilmektedir. Baz istasyonu-kullanıcı bağlantısı yönünde sembollerin kodlanarak iletilebilmesi için bileşik kanal matrisinin kestirilmesi gerekmektedir.

III. EN KÜÇÜK VARYANSLI YANSIZ KESTİRİCİSİ

Denklem (11)' in her iki tarafı vektör haline getirilirse

$$\text{vec}\{\tilde{\mathbf{Y}}\} = \text{vec}\{\mathbf{H}_{\text{comp}} \mathbf{V}\} + \text{vec}\{\tilde{\mathbf{Z}}\} \quad (12)$$

$$\tilde{\mathbf{y}} = (\tilde{\mathbf{V}} \otimes \mathbf{I}_M) \text{vec}\{\mathbf{H}_{\text{comp}}\} + \tilde{\mathbf{z}} \quad (13)$$

$$= \mathbf{A} \mathbf{h} + \tilde{\mathbf{z}} \quad (14)$$

şeklinde baz istasyonundaki toplam sinyal denklem sistemine dönüştürülebilmektedir. Denklem (12)' dan denklem (13)' e geçişte Kronecker çarpım, \otimes , özelliği olan $\text{vec}\{\mathbf{I}_M \mathbf{H}_{\text{comp}} \mathbf{V}\} = (\tilde{\mathbf{V}} \otimes \mathbf{I}_M) \text{vec}\{\mathbf{H}_{\text{comp}}\}$ kullanılmaktadır ve \mathbf{V} matrisinin devriği $\tilde{\mathbf{V}} = \mathbf{V}^T$ olarak temsil edilmektedir. Denklem (14)' te \mathbf{A} matrisi $\mathbf{A} = \tilde{\mathbf{V}} \otimes \mathbf{I}_M$ olarak verilmekteyken bileşik kanal vektörü

$$\mathbf{h} = [\mathbf{h}_{\text{BS}}^T \quad \mathbf{h}_{\text{cascade}_1}^T \quad \cdots \quad \mathbf{h}_{\text{cascade}_N}^T]^T \quad (15)$$

şeklinde baz istasyonu-kullanıcı arasındaki direkt kanal vektörüyle kaskat kanal matrisi sütunlarının bitiştirilmesiyle oluşturulmaktadır. Bileşik kanal vektörü (15), $\mathbf{h} \sim \mathcal{CN}(\mathbf{0}, \mathbf{C}_{\mathbf{H}})$, kovaryans matrisi

$$\mathbf{C}_{\mathbf{H}} = \text{blkdiag}\{ \beta_{\text{BS}} \mathbf{I}_M, \beta_{\text{IRS}} \mathbf{h}_{\text{BS-RIS}_1} \mathbf{h}_{\text{BS-RIS}_1}^H, \dots, \\ \beta_{\text{IRS}} \mathbf{h}_{\text{BS-RIS}_N} \mathbf{h}_{\text{BS-RIS}_N}^H \} \quad (16)$$

$M(N+1) \times M(N+1)$ boyutlu blok köşegen matris ile verilmekteyken gürültü bileşeni (14) dağılımı $\tilde{\mathbf{z}} \sim \mathcal{CN}(\mathbf{0}, N_0 \mathbf{I}_{M\tau_p})$ olmaktadır. Kılavuz sembol sayısı, AYY eleman sayısından bir fazla seçilirse, $\tau_p \geq N+1$, denklem (14)' te \mathbf{h} vektörü için EKVY kestiricisi

$$\hat{\mathbf{h}}_{\text{mvu}} = \text{argmin} E\{\|\mathbf{A} \mathbf{h} - \tilde{\mathbf{y}}\|_2^2\} \quad (17)$$

$$= (\mathbf{A}^H \mathbf{A})^{-1} \mathbf{A}^H \tilde{\mathbf{y}} \quad (18)$$

$$= [(\tilde{\mathbf{V}} \otimes \mathbf{I}_M)^H (\tilde{\mathbf{V}} \otimes \mathbf{I}_M)]^{-1} (\tilde{\mathbf{V}} \otimes \mathbf{I}_M)^H \tilde{\mathbf{y}} \quad (19)$$

$$= (\tilde{\mathbf{V}}^H \tilde{\mathbf{V}} \otimes \mathbf{I}_M)^{-1} (\tilde{\mathbf{V}}^H \otimes \mathbf{I}_M) \tilde{\mathbf{y}} \quad (20)$$

$$= [(\tilde{\mathbf{V}}^H \tilde{\mathbf{V}})^{-1} \otimes \mathbf{I}_M] (\tilde{\mathbf{V}}^H \otimes \mathbf{I}_M) \tilde{\mathbf{y}} \quad (21)$$

en küçük kareler (EKK) kestiricisi olmaktadır. Denklem (21)' de $\tilde{\mathbf{V}}^H$ matrisi $\tilde{\mathbf{V}}$ matrisinin Hermit eşleniğini, $(\tilde{\mathbf{V}}^H \tilde{\mathbf{V}})^{-1}$ ise $\tilde{\mathbf{V}}^H \tilde{\mathbf{V}}$ matrisinin tersini göstermektedir. Denklem (21) görüleceği üzere EKK kestiricisinin başarımını $\tilde{\mathbf{V}}$ matrisi

belirlemektedir. AYY elemanlarının bir kısmının etkinleştirilip kalanların ise kapalı, $\phi_{t,n} \in \{0, 1\}$, bırakıldığı zaman [5]

$$\tilde{\mathbf{V}}_{\text{onoff}} = \begin{bmatrix} 1 & \mathbf{0}_{N}^T \\ \mathbf{1}_N & \mathbf{I}_N \end{bmatrix} \quad (22)$$

ortaya çıkan $\tilde{\mathbf{V}}_{\text{onoff}}$ matrisini (22) kullanan kestirici

$$\hat{\mathbf{h}}_{\text{mvu-onoff}} = \left(\tilde{\mathbf{V}}_{\text{onoff}}^{-1} \otimes \mathbf{I}_M \right) \tilde{\mathbf{y}} \quad (23)$$

için direk kanal kestirim hatasının kaskat kanal kestirim hatasına artırdığı tespit edilmektedir [4].

EKK kestiricisinin kovaryans matrisi, $\mathbf{C}_{\hat{\mathbf{H}}_{\text{mvu}}}$, köşegen olduğunda Fisher matrisinin, $\mathcal{I}(\mathbf{h})$, tersine eşitlenmekte

$$\mathbf{C}_{\hat{\mathbf{H}}_{\text{mvu}}} = \mathcal{I}^{-1}(\mathbf{h}) = N_0(\mathbf{A}^H \mathbf{A})^{-1} \quad (24)$$

$$= N_0[(\tilde{\mathbf{V}}^H \tilde{\mathbf{V}})^{-1} \otimes \mathbf{I}_M] \quad (25)$$

ve \mathbf{h} bileşik kanal vektörü kestirimi için Cramer Rao hata alt sınırına ulaşılmaktadır. EKK kestiricisi kovaryans matrisinin (25) izi kestiricinin ortalama karesel hatasını (OKH) belirlediğinden $\tilde{\mathbf{V}}$ matrisi seçiminin, kovaryans matrisi izini en küçük yapacak şekilde yapılması gerekmektedir. Kovaryans matrisinin (25) köşegen olması için $\tilde{\mathbf{V}}^H \tilde{\mathbf{V}}$ matrisinin de köşegen olması gerekmektedir [4]. $\tilde{\mathbf{V}}^H \tilde{\mathbf{V}}$ matrisinin izi

$$\text{tr}\{\tilde{\mathbf{V}}^H \tilde{\mathbf{V}}\} \leq \tau_p(N+1) \quad (26)$$

üstten sınırlı olduğundan alabileceği en küçük değer $\tau_p(N+1)$ olmaktadır. $\tilde{\mathbf{V}}$ matrisi, $\tau_p \times \tau_p$ boyutlu AFD matrisinin ilk $N+1$ sütunundan seçilirse, $\mathbf{F} \in \mathbf{C}^{\tau_p \times (N+1)}$, $\tilde{\mathbf{V}}^H \tilde{\mathbf{V}}$ matrisinin izi (26), $\tau_p(N+1)$ değerine eşitlenmektedir. Bu seçim sonucunda kovaryans matrisi

$$\mathbf{C}_{\hat{\mathbf{H}}_{\text{mvu}}} = N_0[(\mathbf{F}^H \mathbf{F})^{-1} \otimes \mathbf{I}_M] \quad (27)$$

$$= N_0[(\tau_p \mathbf{I}_{N+1})^{-1} \otimes \mathbf{I}_M] \quad (28)$$

$$= \frac{N_0}{\tau_p} \mathbf{I}_{M(N+1)} \quad (29)$$

olarak hesaplanabilmektedir [4]. Denklem (29)' den görüleceği üzere AYY çarpanları AFD matrisinden seçilirse kestirim varyansı kılavuz sembol sayısı ile ters orantılı çıkmaktadır. Böylece kılavuz sembol sayısı artırılarak kestirim varyansını düşürmek mümkün olabilmektedir. Bu seçim sonucu elde edilecek EKK kestiricisi

$$\hat{\mathbf{h}}_{\text{mvu-dft}} = \frac{1}{\tau_p} (\mathbf{F}^H \otimes \mathbf{I}_M) \tilde{\mathbf{y}} \quad (30)$$

olarak ifade edilebilmektedir. Denklem (30)' teki EKK kestiricisinin normalize OKH baz istasyonu-kullanıcı arasındaki direk kanal vektörü için

$$\text{NMSE}_{\text{mvu-bs}} = \frac{\text{tr}\{(N_0/\tau_p)\mathbf{I}_M\}}{\text{tr}\{\beta_{\text{BS}}\mathbf{I}_M\}} = \frac{N_0}{\tau_p \beta_{\text{BS}}} \quad (31)$$

olarak bulunabilmektedir. Kaskat kanal vektörleri için EKK kestiricisi normalize OKH ise

$$\text{NMSE}_{\text{mvu-cas}_n} = \frac{\text{tr}\{(N_0/\tau_p)\mathbf{I}_M\}}{\text{tr}\{\beta_{\text{IRS}} \mathbf{h}_{\text{BS-RIS}_n} \mathbf{h}_{\text{BS-RIS}_n}^H\}} = \frac{N_0}{\tau_p \beta_{\text{IRS}} \beta_{\text{BS-IRS}}} \quad (32)$$

şeklinde hesaplanmaktadır.

IV. EN KÜÇÜK ORTALAMA KARELER KESTİRİCİSİ

EKOK kestiricisi için önce EKVY kestiricisi (30)

$$\mathbf{r} = \frac{1}{\tau_p} (\mathbf{F}^H \otimes \mathbf{I}_M) \tilde{\mathbf{y}} \quad (33)$$

$$= \frac{1}{\tau_p} (\mathbf{F}^H \otimes \mathbf{I}_M) [(\mathbf{F} \otimes \mathbf{I}_M) \mathbf{h} + \tilde{\mathbf{z}}] \quad (34)$$

$$= \frac{1}{\tau_p} (\mathbf{F}^H \mathbf{F} \otimes \mathbf{I}_M) \mathbf{h} + \frac{1}{\tau_p} (\mathbf{F}^H \otimes \mathbf{I}_M) \tilde{\mathbf{z}} \quad (35)$$

$$= \mathbf{h} + \mathbf{w} \quad (36)$$

şeklinde uygulanmaktadır [2]. Denklem (36)' te ortaya çıkan gürültü vektörünün dağılımı $\mathbf{w} \sim \mathcal{CN}(\mathbf{0}, \frac{N_0}{\tau_p} \mathbf{I}_{M(N+1)})$.

Denklem (36) için EKOK kestiricisi

$$\hat{\mathbf{h}}_{\text{mmse}} = \mathbf{C}_{\text{HR}} \mathbf{C}_{\text{R}}^{-1} \mathbf{r} \quad (37)$$

olarak verilmektedir [9]. HR bileşik değişkeni için kovaryans matrisi, $\mathbf{C}_{\text{HR}} = \mathbf{C}_{\text{H}}$ iken R değişkeni kovaryans matrisi ise $\mathbf{C}_{\text{R}} = \mathbf{C}_{\text{H}} + \frac{N_0}{\tau_p} \mathbf{I}_{M(N+1)}$ olmaktadır. Kovaryans matrisleri denklem (37)' de yerine yazılırsa EKOK kestiricisi

$$\hat{\mathbf{h}}_{\text{mmse}} = \mathbf{C}_{\text{H}} [\mathbf{C}_{\text{H}} + (N_0/\tau_p) \mathbf{I}_{M(N+1)}]^{-1} \mathbf{r} \quad (38)$$

formunu almaktadır. Baz istasyonu-kullanıcı arasındaki direk kanal vektörü, kovaryans matrisi β_{BS} ile ölçeklenmiş birim matris olduğundan sadece \mathbf{h}_{BS} kanal vektörü için EKOK kestiricisi

$$\hat{\mathbf{h}}_{\text{mmse-bs}} = \left(\frac{\beta_{\text{BS}}}{\beta_{\text{BS}} + N_0/\tau_p} \right) \mathbf{r}_{1:M} \quad (39)$$

şeklinde basitleşebilmektedir. Denklem (39)' te $\mathbf{r}_{1:M}$ ile \mathbf{r} vektörünün ilk M elemanından oluşan vektör temsil edilmektedir. Direk kanal vektörü EKOK kestiricisinin (39) kovaryans matrisi ise

$$\mathbf{C}_{\hat{\mathbf{h}}_{\text{mmse-bs}}} = \frac{\beta_{\text{BS}} N_0 / \tau_p}{\beta_{\text{BS}} + N_0 / \tau_p} \mathbf{I}_M \quad (40)$$

şeklinde elde edilebilmektedir. EKOK direk kanal vektörü kestiricisi (39) için normalize OKH

$$\text{NMSE}_{\text{mmse-bs}} = \frac{\text{tr}\{\mathbf{C}_{\hat{\mathbf{h}}_{\text{mmse-bs}}}\}}{\text{tr}\{\beta_{\text{BS}} \mathbf{I}_M\}} = \frac{N_0}{\tau_p \beta_{\text{BS}} + N_0} \quad (41)$$

olarak verilebilmektedir. Kaskat kanalların normalize OKH ise

$$\text{NMSE}_{\text{mmse-cas}} = \frac{N_0}{\tau_p M \beta_{\text{IRS}} \beta_{\text{BS-IRS}} + N_0} \quad (42)$$

olmaktadır [2].

V. SAYISAL SONUÇLAR

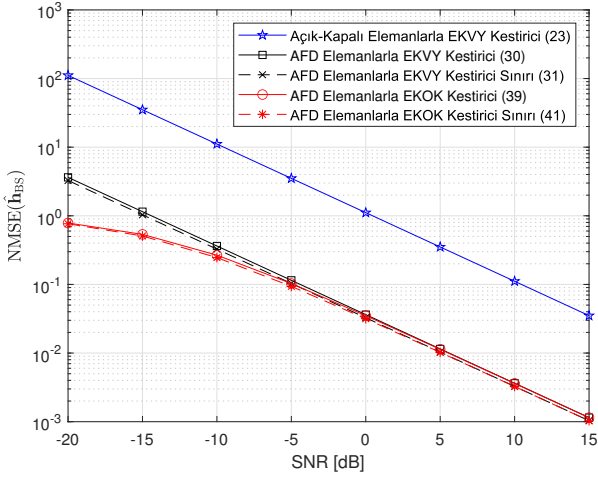
Anlatılan kestirim yöntemlerinin başarımları, normalize OKH' nin sinyal gürültü oranına göre değişimi baz istasyonu-kullanıcı arasındaki direk kanal ve kaskat kanallar için ayrı ayrı çizdirilerek karşılaştırılmaktadır. 10^5 adet Monte Carlo döngüsü sonucunda hesaplanan normalize OKH' lerin örnek ortalaması alınmaktadır. Sinyal gürültü oranının kanalların sönümlemesinden etkilenmemesi için yol kayıp katsayıları

$$\beta_{\text{BS}} + N \beta_{\text{IRS}} \beta_{\text{BS-IRS}} = 1 \quad (43)$$

sağlayacak şekilde tespit edilmektedir. $\mathbf{H}_{\text{BS-IRS}}$ kanal matrisi üretiminde antenler ve elemanlar arasındaki mesafe $d_{\text{BS}} =$

$d_{IRS} = \lambda/2$ olarak belirlenirken yükseklik ve azimut açıları ise sırasıyla $(0, \pi)$ ve $(0, 2\pi)$ aralığında tekdüze dağılımdan seçilmektedir. Kılavuz semboller genlikleri birim, $|x_t|^2 = 1$, yapılarak sinyal gürültü oranının gürültünün tek taraflı spektral güç yoğunluğunun tersine, $SNR = 1/N_0$, eşit olması sağlanmaktadır. Baz istasyonu anten sayısı $M = 10$, AYY eleman sayısı ise $N = 50$ ' dir. Kanal kestirimi için toplam $\tau_p = N + 1 = 51$ adet kılavuz sembol gönderilmektedir.

Şekil 1' de sadece baz istasyonu-kullanıcı arasındaki direk kanal için elde edilen normalize OKH' ler gösterilmektedir. AYY elemanlarının bir kısmının açılıp bir kısmının kapatılarak elde edilen $\tilde{\mathbf{V}}$ matrisini kullanan EKVY kestiricisi, AFD' ye göre elde edilen $\tilde{\mathbf{V}}$ matrisini kullanan EKOK kestiricisine göre aynı başarımlar için 15 dB daha fazla sinyal gücü gerektirmektedir. EKVY kestiricisinin üzerine uygulanan EKOK kestiricisi ancak -5 dB' den daha küçük sinyal gürültü oranları için iyileştirme sağlayabilmektedir ve bu iyileştirme SNR=-20 dB için 5 dB' ye kadar çıkmaktadır. Şekil 1' den görüleceği üzere EKVY ve EKOK kestirici başarımları sırasıyla denklem (31) ve denklem (41)' da verilen sınırlarına çok yakın çıkmaktadır.

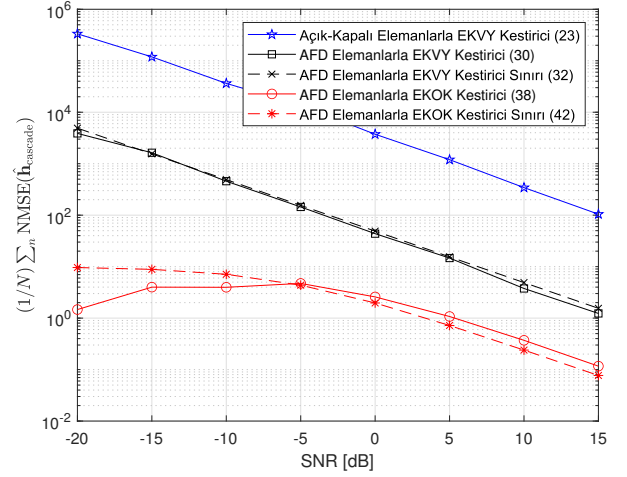


Şekil 1: $M = 10$, $N = 50$ ve $\tau_p = 51$ için $NMSE(\hat{\mathbf{h}}_{BS})$.

Baz istasyonu-kullanıcı arasındaki kaskat kanal vektörlerinin kestiriminde hesaplanan normalize OKH' lerin ortalaması, $(1/N) \sum_n NMSE(\hat{\mathbf{h}}_{\text{cascade}_n})$, Şekil 2' de sunulmaktadır. Direk kanal kestirim hatasına (Şekil 1) kıyasla kaskat kanal kestirim hatasının genel olarak tüm kestiriciler için yükseldiği tespit edilmektedir. EKVY kestiricileri arasındaki sinyal gürültü oranı farkının direk kanal kestirimindeki duruma göre 5 dB artarak 20 dB' ye çıktığı görülmektedir. AFD elemanları kullanan EKOK kestiricisiyle yine AFD elemanları kullanan EKVY kestiricisine göre -5 dB' den büyük sinyal gürültü oranları için 10 dB üzerinde bir iyileştirme sağlanabileceği mümkün gözükmemektedir (Şekil 2).

VI. SONUÇ

Bu çalışmada AYY tarafından desteklenen çok-girişli tek-çıkışlı sistemde bir kullanıcı için EKVY ve EKOK kanal kestirim yöntemlerinin başarımları karşılaştırılmaktadır. Baz



Şekil 2: $M = 10$, $N = 50$ ve $\tau_p = N + 1 = 51$ için $(1/N) \sum_n NMSE(\hat{\mathbf{h}}_{\text{cascade}_n})$.

istasyonu-AYY arasındaki kanalların gerekirci saçılmayla diğerlerinin ise bağımsız Rayleigh sönümlemesine göre tanımlandığı sinyal modelinde AFD matrisine göre etkinleştirilen AYY için EKVY ve EKOK kanal kestiricilerinin ifadeleri ve bu kestiricilerin kovaryans matrisleri çıkarılmaktadır. Sayısal sonuçlardan görüleceği üzere EKOK kestiricisi kaskat kanalların kestiriminde sinyal gürültü oranında 10 dB üzerinde iyileştirme sağlarken direk kanal kestiriminde ise -5 dB' den büyük sinyal gürültü oranları için EKOK kestiricisi başarımları EKVY kestiricisiyle aynıdır.

KAYNAKLAR

- [1] C. Huang, A. Zappone, G. C. Alexandropoulos, M. Debbah, and C. Yuen, "Reconfigurable Intelligent Surfaces for Energy Efficiency in Wireless Communication," *IEEE Trans. on Wireless Commun.*, vol. 18, no. 8, pp. 4157–4170, 2019.
- [2] Q.-U.-A. Nadeem, H. Alwazani, A. Kammoun, A. Chaaban, M. Debbah, and M.-S. Alouini, "Intelligent Reflecting Surface-Assisted Multi-User MISO Communication: Channel Estimation and Beamforming Design," *IEEE Open J. of the Commun. Society*, vol. 1, pp. 661–680, 2020.
- [3] M. D. R. et al., "Smart Radio Environments Empowered by Reconfigurable Intelligent Surfaces: How It Works, State of Research, and The Road Ahead," *IEEE J. on Sel. Areas in Commun.*, vol. 38, no. 11, pp. 2450–2525, 2020.
- [4] T. L. Jensen and E. De Carvalho, "An Optimal Channel Estimation Scheme for Intelligent Reflecting Surfaces Based on a Minimum Variance Unbiased Estimator," in *ICASSP*, 2020, pp. 5000–5004.
- [5] D. Mishra and H. Johansson, "Channel Estimation and Low-complexity Beamforming Design for Passive Intelligent Surface Assisted MISO Wireless Energy Transfer," in *ICASSP*, 2019, pp. 4659–4663.
- [6] G. T. de Araújo, A. L. F. de Almeida, and R. Boyer, "Channel Estimation for Intelligent Reflecting Surface Assisted MIMO Systems: A Tensor Modeling Approach," *IEEE J. of Sel. Topics in Signal Process.*, vol. 15, no. 3, pp. 789–802, 2021.
- [7] M. Joham, H. Gao, and W. Utschick, "Estimation Of Channels In Systems With Intelligent Reflecting Surfaces," in *ICASSP*, 2022, pp. 5368–5372.
- [8] Q.-U.-A. Nadeem, A. Kammoun, A. Chaaban, M. Debbah, and M.-S. Alouini, "Asymptotic Max-Min SINR Analysis of Reconfigurable Intelligent Surface Assisted MISO Systems," *IEEE Trans. on Wireless Commun.*, vol. 19, no. 12, pp. 7748–7764, 2020.
- [9] R. G. Gallager, *Stochastic Processes: Theory for Applications*. Cambridge University Press, 2013.